



## بررسی عددی تأثیر اندازه قطر قطره سوخت مایع در احتراق در یک هندسه دو بعدی مقارن محوری

توحید خاکزند<sup>۱</sup>، رامین کوهی‌کمالی<sup>۲\*</sup>، جواد محمودی مهر<sup>۳</sup>

۱- دانشجوی کارشناسی ارشد، مهندسی مکانیک، دانشگاه گیلان، رشت

۲- دانشیار، مهندسی مکانیک، دانشگاه گیلان، رشت

۳- استادیار، مهندسی مکانیک، دانشگاه گیلان، رشت

\* رشت، صندوق پستی ۳۷۵۶ kouhikamali@guilan.ac.ir

### چکیده

پاشش سوخت و تبخیر آن نقش بسیار مهمی در بسیاری از فرآیندهای احتراقی در صنعت مانند صنایع حمل و نقل، صنایع نظالمی، نیروگاه‌ها و کوره‌ها دارد. کار خاضر بر روی تأثیر قطر قطره سوخت مایع بر ویژگی‌های محفوظه احتراق و تشکیل آلاینده‌ها مانند مونواکسید کربن و ناکس در یک محفظه احتراق دو بعدی مقارن محوری تمرکز کرده است. برای شبیه‌سازی سیستم احتراقی از روش مدل فاز گسسته استفاده شده است. در این مدل فاز پیوسته به صورت اویلری و فاز گسسته به صورت لاغرانژی شبیه-سازی می‌شوند. برهم‌کنش بین فازها و تشعشع در شبیه‌سازی لحاظ شده است. احتراق با مدل غیر پیش‌آمیخته وتابع احتمال چگالی شبیه‌سازی شده است. برای معادلات آشفتگی از مدل کی-اپسیلون استفاده شده است. با تغییر در قطر قطرات سوخت تأثیر این عامل در دمای محفوظه احتراق و همچنین تولید آلاینده‌ها از جمله ناکس و مونواکسید کربن مورد بررسی قرار می‌گیرد. با توجه به نتایج به دست آمده قطرات کوچک ناکس بیشتری در مقایسه با قطرات بزرگ‌تر تولید می‌کنند. همچنین قطرات بزرگ‌تر مونواکسید کربن بیشتری نسبت به قطرات کوچک‌تر تولید کرده‌اند.

### اطلاعات مقاله

مقاله پژوهشی کامل

دریافت: ۰۱ آذر ۱۳۹۵

پذیرش: ۲۲ دی ۱۳۹۵

ارائه در سایت: ۱۳ بهمن ۱۳۹۵

کلید واژگان:

اندازه قطرات

اسپری سوخت

شبیه‌سازی عددی

احتراق

## Numerical investigation of the effect of a liquid fuel droplet diameter in combustion in a 2-D axisymmetric geometry

Tohid Khakzand, Ramin Kouhikamali\*, Javad Mahmoudimehr

Department of Mechanical Engineering, University of Guilan, Rasht, Iran  
\* P.O.B. 3756, Rasht, Iran, kouhikamali@guilan.ac.ir

### ARTICLE INFORMATION

Original Research Paper

Received 21 November 2016

Accepted 11 January 2017

Available Online 01 February 2017

**Keywords:**

Droplet Size

Fuel Spray

Numerical Simulation

Combustion

### ABSTRACT

Spray combustion is utilized in a number of engineering applications such as energy conversion, military industrial, furnace and propulsion devices. Current work focused on the effect of liquid fuel droplet diameter on the efficiency of the combustion chamber and formed emission such as  $\text{NO}_x$  and CO in a two-dimensional axisymmetric combustion chamber. The discrete phase model approach was employed for simulating combustion. The gas phase is simulated using an Eulerian approach, while the droplets are treated with a Lagrangian method. The coupling between the two phases and effect of radiation is considered. The mixture-fraction/probability density function (PDF) equilibrium chemistry model is used to predict the combustion of the vaporized fuel. Also, the conservative equations of mass, momentum and energy in the turbulent flow field were solved in conjunction with the k- $\epsilon$  two equation turbulence model. A numerical simulation was carried out to study the influence of droplet size on the formation and emission of  $\text{NO}_x$  and other contaminants. This effect was investigated under different droplet diameter and type of injection. The following conclusions can be drawn: Smaller droplets produce higher  $\text{NO}_x$  emission than the larger ones. Larger droplets produce higher CO than smaller ones.

شتاب فراینده در جهت به پایان بدن منابع سوخت‌های فسیلی و دیگری آلودگی محیط‌زیست در اثر سوزاندن این منابع. از جمله مشکلات آلودگی زیستمحیطی ناشی از احتراق سوخت‌های فسیلی می‌توان به صدور آلاینده‌های ناشی از احتراق سوخت‌های فسیلی مانند ناکس<sup>۱</sup> و مونواکسید کربن<sup>۲</sup> اشاره کرد که باعث افزایش صدور گازهای گلخانه‌ای و به تبع آن افزایش

<sup>1</sup>  $\text{NO}_x$

<sup>2</sup> CO

احتراق راه متداول تولید انرژی در بسیاری از سیستم‌های صنعتی، صنایع حمل و نقل و صنایع نظالمی از جمله توربین‌های گاز، موتورهای احتراق داخلی، کوره‌ها و بویلرها است [۱]. تأمین انرژی یکی از اساسی‌ترین پیش‌نیازهای توسعه اقتصادی و بهبود کیفی زندگی بشر است. روند افزایش مصرف انرژی در جهان بشر را با دو بحران بزرگ رویو کرده است، نخست

Please cite this article using:

T. Khakzand, R. Kouhikamali, J. Mahmoudimehr, Numerical investigation of the effect of a liquid fuel droplet diameter in combustion in a 2-D axisymmetric geometry, *Modares Mechanical Engineering*, Vol. 17, No. 2, pp. 135-146, 2017 (in Persian)

برای ارجاع به این مقاله از عبارت ذیل استفاده نمایید:

هوا را با حل عددی در محفظه احتراق دو بعدی و مدل احتراق پیش آمیخته مورد بررسی قراردادند و نتیجه گرفتند هرچه اندازه قطرات افزایش می‌یابد دمای منطقه مرکزی پایین‌دست جریان کاهش می‌یابد. واتنانبه و همکاران [7] بر روی تاثیر تشعشع بر خصوصیات شعله‌ی اسپری و تشکیل دود، بهوسیله‌ی حل مستقیم عددی دو بعدی در حالت آرام اقدام نمودند و مشاهده کردند که تشعشع به طور زیادی بر تشکیل دوده و ساختار شعله تاثیر می‌گذارد. شارما و سوم [8] تأثیرات مواد قابل تبخیر سوخت و ویژگی‌های پاشش سوخت را در خصوصیات احتراق و تشکیل ناکس بررسی عددی نمودند و مشاهده کردند با افزایش زاویه پاشش تولید ناکس افزایش می‌یابد. تمرکز کار حاضر بر تغییر قطر قطرات سوخت مایع و تغییر زاویه پاشش سوخت و بررسی آلاینده‌های تشکیل شده از جمله ناکس و مونوکسید کربن در یک محفظه احتراق دو بعدی مقابله محوری است. تاثیر قطرات در سه بخش شامل پاشش قطراتی با قطر یکسان، پاشش قطرات با توزیع خطی و پاشش قطرات با توزیع قطر روسین رمل هر کدام تحت سه زاویه پاشش ۰ درجه، 30 درجه و 60 درجه بررسی می‌شود.

## 2- معادلات حاکم

### 2-1- فرضیات شبیه‌سازی

فرضیات زیر برای مدل‌سازی فرآیندهای مختلفی که در داخل محفظه احتراق اتفاق می‌افتد در نظر گرفته شده است:

- یک آنالیز دینامیک سیالات محاسباتی دو بعدی مقابله محوری یک شعله‌ی آشفته قادر است تا سرعت گاز، دما و غلظت هر جزء را با دقت مناسب پیش‌بینی کند.
- اسپری سوخت از قطراتی با اندازه مشخص و محدود تشکیل شده است.
- برهم‌کنش دو طرفه بین فاز پیوسته و فاز گستته<sup>۴</sup> حاکم است.
- نیروی شناوری ناچیز است.
- کروزن<sup>۵</sup> به عنوان سوخت مایع در نظر گرفته شده است.

### 2-2- معادلات

بسیاری از جریان‌های مهندسی مورد استفاده در صنعت شامل برهم‌کنش فاز پیوسته (مانند گاز) و فاز گستته (مانند قطرات مایع یا جامد) است. از جمله این جریان‌ها و کاربردها می‌توان به جدآکننده‌های گردبادی<sup>۶</sup>، بویله‌های پودر زغالی<sup>۷</sup>، موتورهای احتراق داخلی و... اشاره کرد. این برهم‌کنش‌ها می‌توانند بهوسیله‌ی مدل فاز گستته شبیه‌سازی شود. پایه مدل فاز گستته بر مبنای روش اویلری-lagrangian است. روش اویلری-lagrangian برای مشخص کردن دسته‌ای از تکنیک‌های مدل‌سازی و شبیه‌سازی استفاده می‌شود که در آن قطرات یا ذرات (فاز گستته) به روش lagrangian بیان می‌شوند در حالی که جریان حامل این ذرات (فاز پیوسته) به روش اویلری توصیف می‌گردد.

مسیر حرکت ذره از (قطره یا حباب) فاز گستته بهوسیله‌ی انتگرال‌گیری از تعادل نیرویی<sup>۸</sup> روی ذره که در مختصات lagrangian نوشته شده است به دست می‌آید. این تعادل نیرویی لختی ذره را برابر با نیروهایی که روی ذره عمل می‌کنند قرار می‌دهد و برای مثال در مختصات افقی بهصورت معادله‌ی

دمای زمین، افزایش گازهای سمی و آلودگی شهرها، ایجاد تغییراتی در آب‌و-هوای جمله باران‌های اسیدی شده است [2]. توجه به این مسائل و مشکلات بهینه‌سازی و افزایش راندمان و کاهش سطح آلاینده‌های ناشی از احتراق سوخت‌های مایع اهمیت بسیاری یافته است به طوری که احتراق قطرات سوخت مایع مبحث مورد علاقه‌ی بسیاری از تحقیقات انجام گرفته در ۵ دهه‌ی اخیر بوده است. برای غلبه بر مشکلات و مسائل ذکر شده به طور کلی از دو روش اصلی استفاده می‌شود:

- استفاده از سوخت‌ها و منابع انرژی جایگزین و تجدید پذیر
- بهینه‌سازی و بهبود ویژگی‌های احتراق سوخت‌های فسیلی و افزایش کیفیت اختلاط سوخت و هوای

کار حاضر بر روش دوم یعنی بهینه‌سازی و بهبود احتراق سوخت مایع و افزایش راندمان احتراق تکیه دارد. شناخت و بررسی دقیق برهم‌کنش پیچیده‌ی بین فاز گاز و فاز مایع در احتراق سوخت پاشش شده‌ی مایع کلید اصلی در بهبود عملکرد محفظه‌ی احتراق و افزایش راندمان احتراق و کاهش سطح آلاینده‌ها است. برای سوخت‌های معمول فسیلی مانند بنزین و دیزل سطح آلاینده‌های خروجی می‌تواند بهوسیله‌ی تغییرات و بهینه‌سازی ویژگی‌های پاشش سوخت و کیفیت اختلاط سوخت و هوای کاهش یابد. برای دستیابی به این مهم لازم است که تمام سوخت پاشش شده با هوای در دسترس بیشترین ارتباط و برخورد را داشته باشد تا احتراق کامل‌تر صورت پذیرد [2].

اکسیدهای نیتروژن (ناکس)<sup>۹</sup> در شعله‌ی احتراق سوخت مایع ناشی از دو فرآیند اصلی است: ناکس حرارتی<sup>۱۰</sup> و ناکس فوری. ناکس دمایی از اکسیداسیون نیتروژن اتمسفر به وجود می‌آید و ناکس فوری از واکنش نیتروژن اتمسفر با رادیکال‌های هیدروکربن در ناحیه سوخت-غذی شعله حاصل می‌گردد. تحقیقات نشان داده است که مقدار ناکس دمایی برای ناحیه‌ای از شعله که دما در آن از 1700 کلوین پایین‌تر باشد به نسبت کم است [3] در حالی که در چنین نواحی ممکن است ناکس تولید شده از مکانیسم فوری (پرامپت) بیشتر باشد. هر یک از این مکانیسم‌ها در بخش بعد تشریح خواهد شد. برای مدل‌سازی فرآیند احتراق از مدل غیر-پیش آمیخته استفاده شده است که معادلات انتقال را برای کسرهای مخلوط<sup>۱۱</sup> حل می‌کند. معادلات برای هر جزء خاص حل نمی‌شوند بلکه غلظت هر جزء از میدان کسر مخلوط که از روابط ترموشیمیایی محاسبه شده است به دست می‌آید. از سال 1970 تاکنون محققان بسیاری بر اسپری و ویژگی‌های احتراق سوخت مایع تمرکز کرده‌اند. مطالعات مربوط به ویژگی‌های سوخت را می‌توان به دو نوع کلی تقسیم کرد: ویژگی‌های ماکروسکوپیک مانند سرعت و قطر ذرات طول نفوذ شعله و ویژگی‌های میکروسکوپیک مانند آزمایشگاهی پاشش شده. هایاشی و همکاران [4] با استفاده از مدل‌سازی آزمایشگاهی تأثیرات توزیع اندازه ذرات را بر تشکیل دوده در شعله‌ی آرام بررسی نمودند. آواسی و همکاران [2] تاثیر اندازه قطره‌ی ایزوله‌ی متان را در احتراق سوخت به صورت تحلیلی مورد بررسی قرار دادند. تای لی و همکاران [5] تحقیقات آزمایشگاهی برای بررسی تأثیر توزیع اندازه قطرات و خصوصیات تبخیر سوخت در مدل احتراق پیش آمیخته جریان چرخشی انجام دادند و مشاهده کردند کاهش در فشار محیط باعث بهتر شدن تبخر قطرات می‌گردد. فوجینتا و همکاران [6] تاثیر اندازه قطرات و تشعشع و نسبت تناسب سوخت و

<sup>1</sup> NO

<sup>2</sup> Thermal NO

<sup>3</sup> Mixture fraction

<sup>4</sup> Discrete Phase

<sup>5</sup> Kerosene ( $C_{12}H_{26}$ )

<sup>6</sup> Cyclone Separator

<sup>7</sup> Pulverized coal/oil fired boilers

<sup>8</sup> Force Balance

$$\Omega \cdot \nabla I(r, \Omega) = -(\alpha + \kappa)I(r, \Omega) + \alpha I_b(r) + \frac{\kappa}{4\pi} \int_{\Omega'=\Omega} I(r, \Omega') \times \Phi(\Omega' \rightarrow \Omega) d\Omega \quad (10)$$

$\kappa$  ضرایب جذب و پخش پلانک به صورت زیر محاسبه می شوند.

$$\alpha = \int_0^\infty i_{b,\lambda} \alpha_\lambda \frac{d\lambda}{\lambda}, \quad \kappa = \eta_s \pi \frac{d\lambda^2}{4} \quad (11)$$

تحت فرض ضریب پخش برابر در مدل احتراقی غیر پیش آمیخته، معادلات اجزاء واکنش احتراقی می تواند به یک معادله برای کسر مخلوط  $f$  کاهش یابد. معادله کسر مخلوط میانگین چگالی به صورت زیر است.

$$\frac{\partial}{\partial t} (\rho \bar{f}) + \nabla \cdot (\rho \bar{\theta} \bar{f}) = \nabla \cdot \left( \frac{\mu_t}{\sigma_t} \nabla \bar{f} \right) + S_m + S_{add} \quad (12)$$

به علاوه برای حل معادله (12) باید معادله بقای زیر برای واریانس کسر مخلوط  $\bar{f}$  حل شود.

$$\frac{\partial}{\partial t} \left( \rho \bar{f}^{1/2} \right) + \nabla \cdot \left( \rho \bar{\theta} \bar{f}^{1/2} \right) = \nabla \cdot \left( \frac{\mu_t}{\sigma_t} \nabla \bar{f}^{1/2} \right) + C_g \mu_t (\nabla \bar{f})^2 - C_d \rho \frac{\epsilon}{\kappa} \bar{f}^{1/2} + S_{add} \quad (13)$$

در این معادله  $\bar{f}' = f - \bar{f}$  و ضرایب  $\sigma_t, C_g, C_d$  به ترتیب برابر 2.0, 2.86 و 0.85 هستند [11].

برای شبیه سازی فرآیندهای مربوط به ناکس دمایی از مکانیسم زلدویج استفاده شده است [3].

$$\frac{d[\text{NO}]}{dt} = 2k_{f,1}[O][N_2] \frac{\left( 1 - \frac{k_{r,1}k_{r,2}[\text{NO}]^2}{k_{f,1}[N_2]k_{f,2}[O_2]} \right)}{\left( 1 + \frac{k_{r,1}[\text{NO}]}{k_{f,2}[O_2]+k_{f,3}[\text{OH}]} \right)} \quad (14)$$

$$[O] = 3.97 \times 10^5 T^{-\frac{1}{2}} [O_2]^{\frac{1}{2}} e^{-\frac{31090}{T}} \quad (15)$$

برای شبیه سازی فرآیندهای مربوط به ناکس فوری از مدل دی سوئته استفاده شده است [12].

$$\frac{d[\text{NO}]}{dt} = fk'_{pr}[O_2]^a[N_2][\text{fuel}]e^{-E'_a/RT} \quad (16)$$

$$f = 4.75 + 0.0819n - 23.2\emptyset + 32\emptyset^2 - 12.2\emptyset^3 \quad (17)$$

$$k'_{pr} = 6.4 \times 10^6 \left( \frac{RT}{p} \right)^{a+1} \quad (18)$$

که در آن  $E'$  برابر با 303474.125 ژول بر مول است. و  $k'_{pr}$  ضرایبی هستند که به وسیله دیپارتمن سوخت و انرژی دانشگاه لیدز محاسبه شده اند.  $\emptyset$  نسبت تعادل و  $n$  تعداد کرین در هر مولکول سوخت هیدروکربنی است.  $a$  نیز مرتبه واکنش اکسیژن است.

### 3-2 مدل عددی

در این مطالعه تبخیر و احتراق سوخت مایع با استفاده از قابلیت مدل سازی فاز گسسته در بسته تجاری انسپیس و نرم افزار فلوئنت برای محاسبه و پیش بینی فیزیک جریان گاز و اسپری مایع مورد بررسی قرار گرفته است. برای مدل سازی احتراق سوخت تبخیر شده در محفظه احتراق از مدل احتراق غیر پیش آمیخته<sup>۱</sup> و مدل تعادل شیمیایی تابع احتمال چگالی<sup>۲</sup> استفاده شده است. همچنین برای مدل سازی خصوصیات آشفتگی جریان فاز پیوسته از مدل کی اپسیلون آن جی<sup>۳</sup> استفاده شده است. در این بررسی مدل پاشش غیر اوتومایزی از یک نقطه با زاویه پاشش 45 درجه و با توزیع روسین-ملر<sup>۴</sup> در 10 گروه از 10 میکرومتر تا 100 میکرومتر برای صحت سنجی با آزمایش بشیر نژاد و همکاران [13] استفاده شده است و برای ادامه

(1) نوشته می شود.

$$\frac{du_p}{dt} = F_D (\bar{U} - \bar{U}_p) + \frac{\bar{g}(\rho_p - \rho)}{\rho_p} + \bar{F} \quad (1)$$

که در آن  $\bar{F}$  ترم شتاب اضافی است (نیرو برو واحد جرم ذره) و  $F_D$  از رابطه (2) به دست می آید. نیروی جرم مجازی، نیروی پسا، نیروی سافمن، نیروی برونین، نیروی باست و فاکسن و اثرات مگنس و گرادیان فشار و اثرات گرانش در حالت کلی بر ذره اثر دارند که در کار حاضر نیروی درگ بر ذره اعمال شده است و از نیروی گرانش به دلیل قطر کم محفظه، از گرادیان فشار به دلیل طول کم محفظه و برابر بودن فشار ورودی و خروجی (فشار محفظه برابر انسفر در نظر گرفته شده است). همچنین نیروی سافمن و برونین نیز فقط برای قطرات زیر میکرون لحاظ می گردد که تمام قطرات پاشش شده قطر بزرگتری دارند همچنین از تأثیرات متقابل ذره بر ذره نیز در این کار صرف نظر شده است پس نیروی باست که تأثیر گذشته ای قطرات بر دیگر قطرات است در نظر گرفته نشده است. نیروی فاکسن هم برای جریان های خوشی حضور دارد که جریان مورد مطالعه این گونه نیست. از اثرات مگنس نیز به دلیل اینکه دورانی برای ذرات در نظر گرفته نشده صرف نظر شده است.

$$F_D = \frac{18\mu}{\rho_p d_p^2} \frac{C_D \text{Re}}{24} \quad (2)$$

$$\text{Re} \text{ عدد رینولدز است و طبق رابطه (3) به دست می آید} [10,9]$$

$$\text{Re} = \frac{\rho d_p |\bar{U}_p - \bar{u}|}{\mu} \quad (3)$$

معادله (4) برای تعیین دمای ذرات به وسیله انتگرال گیری بر روی آن استفاده می شود.

$$m_p c_p \frac{dT_p}{dt} = h A_p (T_\infty - T_p) - \frac{dm_p}{dt} h_{fg} + \varepsilon_p A_p \sigma (\theta_R^4 - T_p^4) \quad (4)$$

که در آن  $\theta$  دمای تشعشعی است و از رابطه (5) به دست می آید.

$$\theta = \left( \frac{G}{4\sigma} \right)^{\frac{1}{4}} \quad (5)$$

در رابطه (5)،  $G$  پدیده تشعشع است و طبق رابطه (6) به دست می آید.

$$G = \int_{\Omega=0}^{4\pi} I d\Omega \quad (6)$$

مومنتوم انتقالی از فاز پیوسته به فاز گسسته با استفاده از تغییرات مومنتوم ذرات (معادله (1)) و ضرب این معادله در دبی جرمی ذرات و گام زمانی به صورت معادله (7) به دست می آید.

$$F = \sum \frac{(\mu C_D \text{Re})}{24 \rho_p d_p^2} (u_p - u) + F_{other} \dot{m}_p \Delta t \quad (7)$$

تبادل انرژی بین فاز پیوسته و فاز گسسته از معادله (8) به دست می آید.

$$Q = \frac{\dot{m}_{p,0}}{m_{p,0}} [(m_{p,in} - m_{p,out}) [-H_{lat,ref} + H_{pyrol}]] - m_{p,out} \int_{T_{ref}}^{T_{p,out}} C_{pp} dT + m_{p,in} \int_{T_{ref}}^{T_{p,in}} C_{pp} dT \quad (8)$$

برای تبادل جرم از معادله (9) استفاده می شود.

$$M = \frac{\Delta m_p}{m_{p,0}} \dot{m}_{p,0} \quad (9)$$

در این مطالعه روش جهات مجزا<sup>۵</sup> برای حل معادله انتقال تشعشع مورد استفاده قرار گرفته است. مدل جهات مجزا یک مدل مناسب برای شبیه سازی احتراق در بسیاری از مدل های کاربردی است [7].

<sup>1</sup> Discrete Ordinates

<sup>2</sup> NON-premixed Combustion

<sup>3</sup> probability density function(PDF)

<sup>4</sup>  $K - \varepsilon$

<sup>5</sup> Rosin-Rammler

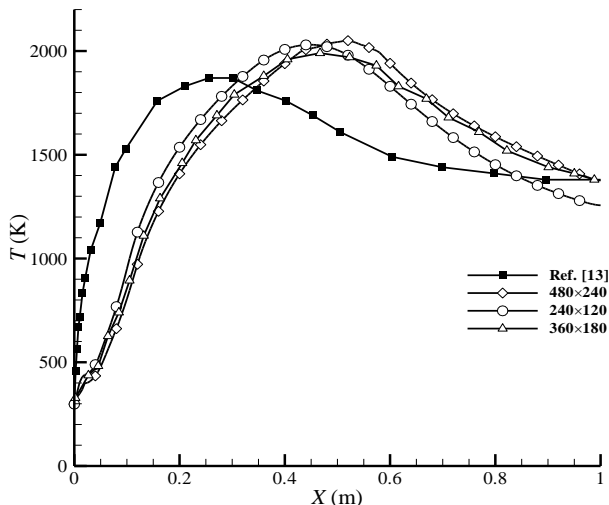


Fig. 2 دما روی محور محفظه احتراق

شکل 2 دما روی محور محفظه احتراق

جدول 1 متغیرهای اولیه مدل سازی محفظه احتراق

Table 1 Parameters of injection characteristic

اندازه	خصوصیات
1 m	طول محفظه احتراق
0.36 m	قطر محفظه احتراق
3 m/s	سرعت هوای ورودی
298 k	دماهی هوای ورودی
1200 k	دماهی دیواره محفظه احتراق
500 m/s	سرعت پاشش سوخت
0.05 kg/s	دبی سوخت

قطرات آن خواهد بود به عبارت دیگر قطر بیان شده همان قطر ساتر نیز است. قطرها در 5 دسته که در جدول (2) آورده شده‌اند مورد بررسی قرار گرفته‌اند.

شکل 3 مقدار ناکس را برای 3 زاویه پاشش مختلف در قطر پایه 0.1 میلی‌متر نشان می‌دهد. همان‌طور که از شکل مشخص است با افزایش زاویه پاشش ناکس افزایش یافته است. با توجه به اینکه در زاویه‌های بزرگ‌تر قطرات به دلیل اصطکاک بیشتری که با فاز پیوسته دارند در فواصل کوتاه‌تری تبخیر می‌شوند و احتراق زودتر رخ می‌دهد پس فرصت تشکیل ناکس در این مدل‌های پاشش بیشتر است و آلاینده بیشتری تولید می‌کنند. با افزایش زاویه پاشش از 0 درجه به 30 درجه ناکس خروجی 26% افزایش یافته است و به ازای افزایش زاویه پاشش از 30 درجه به 60 درجه ناکس خروجی 16% افزایش داشته است.

جدول 2 ویژگی‌های توزیع هماندازه قطر قطرات

Table 2 droplet diameter equal diameter distribution characteristics (SMD)

قطر میانگین ساتر	اندازه قطرات	خصوصیات
1μm	1μm	1 دسته
5μm	5μm	2 دسته
10μm	10μm	3 دسته
50μm	50μm	4 دسته
100μm	100μm	5 دسته

بررسی تاثیر اندازه قطرات سوخت در ویژگی‌های محفظه از زوایای پاشش 0 درجه، 30 درجه و 60 درجه که تشکیل مخلوط توبیر می‌دهند در ورودی محفظه احتراق استفاده شده است. همچنین تاثیر اندازه قطرات در 3 دسته‌ی قطرات با قطره‌ای یکسان، قطرات با توزیع روسین-رمل و قطرات با توزیع خطی بررسی خواهد شد. سیستم احتراق سوخت مایع در شکل 1 نشان داده شده است. یک پاشش سوخت کروزن وارد محفظه احتراق متقاضن محوری می‌شود که در آن هوا با دمای 298 کلوین و سرعت 3 متر بر ثانیه جريان دارد. دماهی دیواره‌های محفظه احتراق در 1200 کلوین ثابت نگه داشته شده‌اند و شرط مرزی دیواره بازگشتی در نظر گرفته شده است. طول محفظه احتراق 1 متر در نظر گرفته شده است. قطر محفظه احتراق 0.36 متر فرض شده است. جريان هوا آشفته است و برای مدل سازی احتراق از مدل احتراقی غیرپیش آمیخته استفاده شده است. سوخت در دمای 323 کلوین و با سرعت 500 متر بر ثانیه [14] به داخل محفظه احتراق تزریق می‌شود. دبی جرمی سوخت 0.05 کیلوگرم بر ثانیه است.

#### 4- استقلال از شبکه و صحبت‌سننجی

شکل 2 دما روی محور محفظه احتراق اندازه‌گیری شده به سیله‌ی آزمایش بشیرنژاد و همکاران [13] و دماهی پیش‌بینی شده به سیله‌ی شبیه‌سازی در کار حاضر را برای تعداد شبکه‌های استفاده شده نمایش می‌دهد. برای بررسی استقلال از شبکه چندین شبکه‌ی محاسباتی مورد بررسی قرار گرفت که سه شبکه 120 × 240 و 180 × 240 و 360 × 240 کمترین اختلاف را با داده‌های تجربی داشتند و برای شبکه‌های ریزتر از آن‌ها تغییری در نتایج مشاهده نگردید. پس برای شبیه‌سازی شبکه 180 × 360 که دارای جواب بهتر و سرعت حل بیشتری بود انتخاب گردید. بررسی نمودارها نشان می‌دهد که برای این تعداد شبکه میانگین خطای نسبی برابر 17.3% است. این خطای ناشی از سرعت پاشش قطرات به داخل محفظه احتراق در مدل آزمایشگاهی و مدل شبیه‌سازی شده می‌باشد.

#### 3- بحث و بررسی

برای بررسی تاثیر اندازه قطر قطرات سوخت مایع در محفظه احتراق سه زاویه پاشش مختلف 60 درجه، 30 درجه و 0 درجه با سرعت 500 متر بر ثانیه به ویژگی‌هایی که در جدول (1) تشریح شده است استفاده شده است. همچنین برای بررسی تاثیر قطر ذرات، سه روش پاشش روسین-رمل، خطی و یکسان استفاده شده است.

#### 1- توزیع قطرات با قطر یکسان

برای بررسی تاثیر اندازه قطرات، از قطره‌ای یکسان برای هر ذره استفاده شده است. در نتیجه قطر میانگین ساتر<sup>1</sup> برای گروه برابر با قطر هریک از

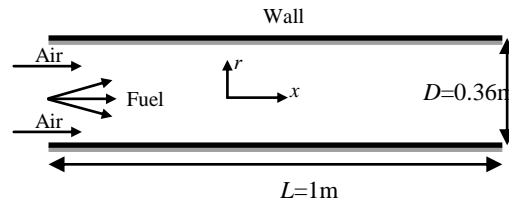
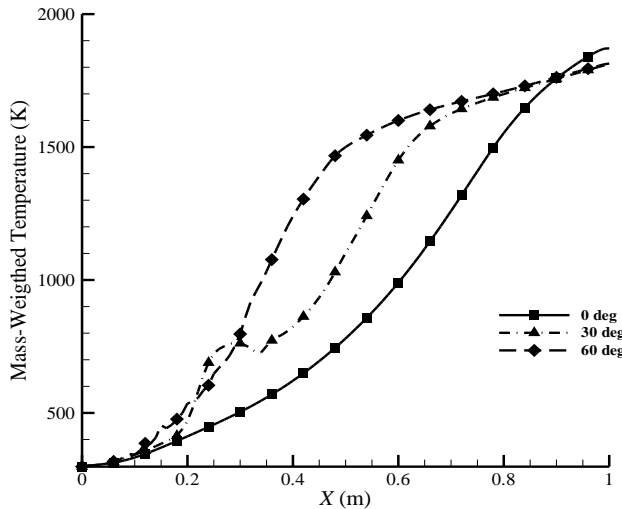


Fig. 1 A schematic diagram of the numerical set-up

شکل 1 نمایش مدل مورد استفاده در شبیه‌سازی محفظه احتراق

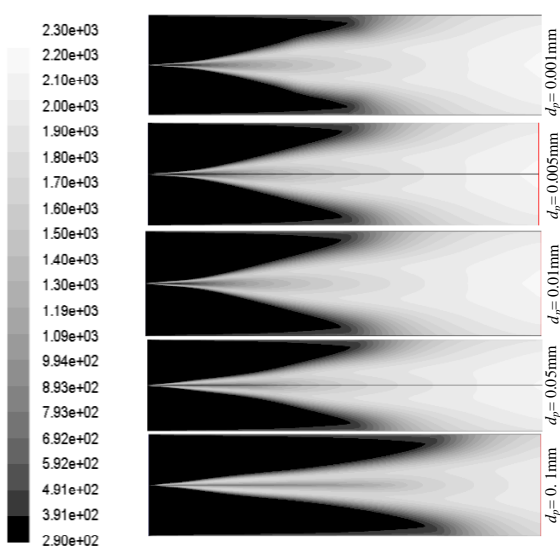
<sup>1</sup> Sauter mean diameter



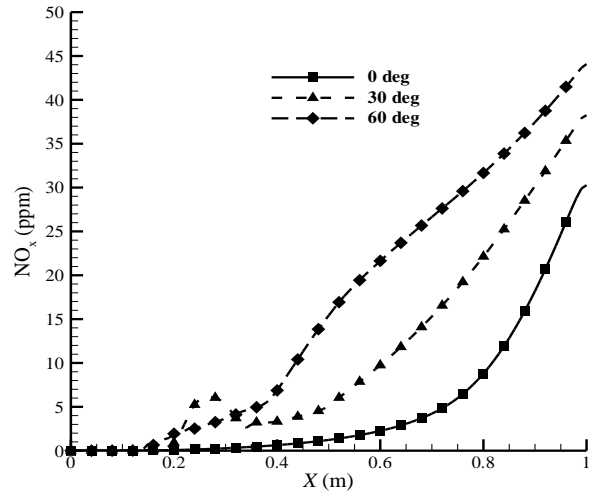
شکل 5 نمودار دمای میانگین وزنی در طول محفظه احتراق

اینکه در زاویه 60 درجه پرشی مشاهده نمی‌شود به این خاطر است که تعداد جریان قطراتی که به دیواره می‌خورند و در اثر شرط در نظر گرفته شده برای دیواره به قسمت‌های مرکزی محفظه برمی‌گردند بیشتر از زاویه پاشش 30 درجه است بنابراین دما به صورت ناگهانی افزایش نمی‌یابد در نتیجه ناکس تولید شده نیز به تدریج تولید می‌گردد. در شکل 5 این افزایش دما مشخص است.

شکل 6 کانتورهای دما برای زاویه پاشش 0 درجه برای 5 قطر مختلف پاشش نمایش می‌دهد. همان‌طور که در شکل مشخص است با افزایش قطر قطرات حجم احتراق تولید شده کاهش یافته است. این تغییر برای قطرات کوچک‌تر که احتراق آن‌ها سریع رخ می‌دهد چندان محسوس نیست ولی برای قطرات بزرگ‌تر از 0.05 میلی‌متر تغییرات شدیدتر می‌گردد. طبیعتاً هرچه احتراق در فاصله‌ی دورتری اتفاق بیفتد زمان کافی برای کامل شدن آن پیش نمی‌آید و در نتیجه ناکس خروجی کاهش و مونواکسید خروجی افزایش می‌یابد.



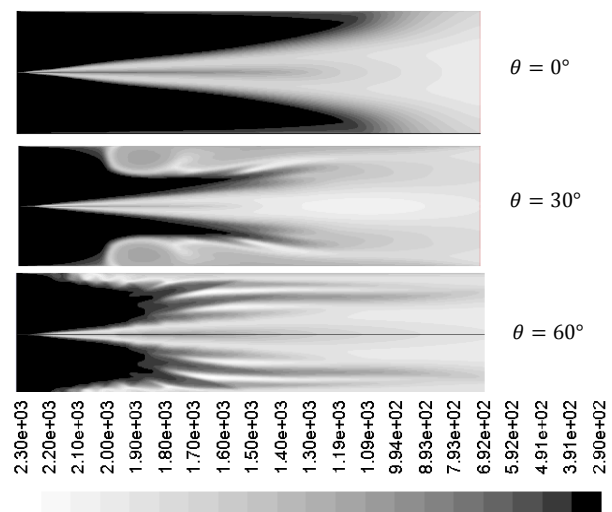
شکل 6 کانتورهای دما بر حسب کلوین برای زاویه پاشش 0 درجه در قطرهای مختلف



شکل 3 مقدار ناکس در طول محفظه احتراق

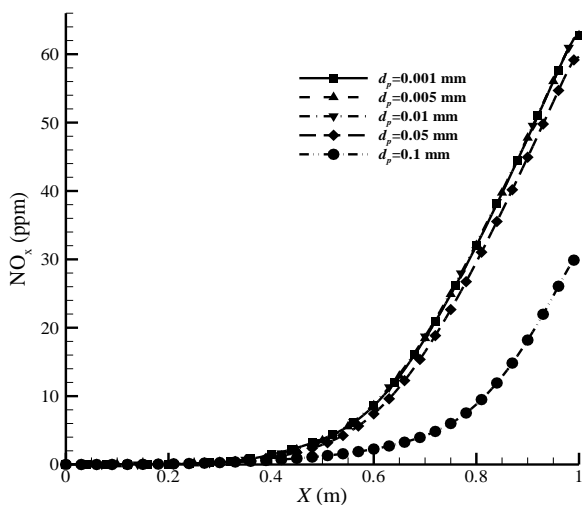
شکل 4 کانتورهای دمای محفوظه احتراق را برای سه زاویه پاشش 30.0 و 60 درجه در قطر پایه 0.1 میلی‌متر نمایش می‌دهد. همان‌طور که در شکل مشخص است با افزایش زاویه پاشش احتراق در حجم بیشتری از محفوظه صورت گرفته است بنابراین تولید ناکس در زاویه پاشش 60 درجه نسبت به زاویه پاشش 30 و 0 درجه بیشتر و 30 درجه نیز نسبت به زاویه پاشش 0 درجه بیشتر بوده است.

شکل 5 نمودار دمای میانگین وزنی در طول محفوظه احتراق را برای سه زاویه پاشش مختلف نمایش می‌دهد. همان‌طور که در مورد شکل 3 گفته شد هرچه زاویه بالاتر رود احتراق در فاصله‌ی کوتاه‌تری صورت گرفته و در نتیجه دمای میانگین وزنی در محفوظه احتراق در طول زیادتری افزایش می‌یابد که همین عامل موجب تولید ناکس بیشتری می‌گردد. پرس‌هایی که در دو نمودار مشاهده می‌شود به دلیل برخورد قطرات با دیواره محفوظه می‌باشد. در این موقع قطرات در فاصله‌ی طولی کمتری تبخیر شده و چون سریع‌تر ناکس تولید شده است در نتیجه برآمدگی در شکل نمودار ایجاد شده است. دلیل



شکل 4 کانتورهای دما بر حسب کلوین برای سه زاویه پاشش در قطر پایه 0.1 mm

شکل 4 کانتورهای دما بر حسب کلوین برای سه زاویه پاشش در قطر پایه 0.1 میلی‌متر

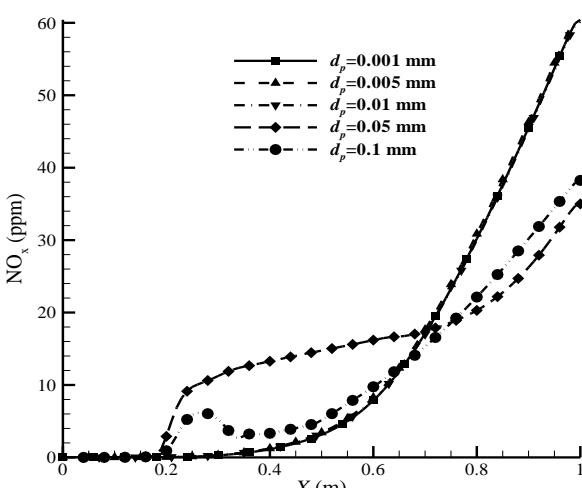
Fig.9  $\text{NO}_x$  for 0 deg

شکل 9 نمودار مقدار ناکس در طول محفظه احتراق برای زاویه 0 درجه

در حجم کمتری اتفاق می‌افتد) چون احتراق دیرتر اتفاق افتاده و فرصت کافی برای تبادل گرما میسر نیست. پس با کاهش دمای تولید شده ناکس نیز کاهش می‌یابد.

شکل 10 و 11 نمودار مقدار ناکس را در طول محفظه برای زاویه پاشش 30 درجه و 60 درجه به تصویر کشیده است. همان‌طور که از شکل مشخص است برای قطرات کوچک‌تر مقادیر ناکس همانند حالت پاشش با زاویه 0 درجه می‌باشد. هرچه قطر قطرات افزایش یافته به دلیل آن که شعله در فضای محفوظه پخش شده ناکس تولیدی کاهش می‌یابد. همچنین در قطره‌ای بزرگ‌تر قطرات به دیواره برخورد می‌کنند و موجب می‌شود که ناکس تولید شده افزایش یابد.

شکل 12، شکل 13 و شکل 14 نسبت جرمی مونواکسید کربن را برای زوایای پاشش 0، 30 و 60 درجه نمایش می‌دهد. برای قطراتی که قطر بزرگ‌تری دارند تبخیر و احتراق سوخت در فاصله‌ی دورتری از ورودی محفوظه احتراق اتفاق می‌افتد بنابراین مونواکسید تولید شده که باید در فرآیند احتراق تولید و سپس از بین برود فرصت کافی برای از بین رفتن پیدا

Fig.10  $\text{NO}_x$  for 30° injection

شکل 10 نمودار مقدار ناکس در طول محفوظه احتراق برای زاویه 30 درجه

شکل 7 و 8 کانتورهای دما را به ترتیب برای زاویه پاشش 30 درجه و 60 درجه برای قطره‌ای مختلف پاشش نمایش می‌دهد. برای قطرات کوچک‌تر از 0.05 میلی‌متر کانتورهای دما بسیار مشابه حالت زاویه پاشش 0 درجه می‌باشد. برای قطرات بزرگ‌تر از 0.05 میلی‌متر احتراق در نزدیکی دیواره شکل گرفته و حجم بیشتری از محفظه درگیر فرآیند احتراق گشته است.

شکل 9 نمودار مقدار ناکس را برای زاویه پاشش 0 درجه نشان می‌دهد. در این نوع پاشش با افزایش قطر، مقدار ناکس به طور پیوسته کاهش یافته است. دلیل آن به این علت است که هرچه قطر قطرات افزایش می‌یابد مطابق شکل 6 حجم کمتری درگیر افزایش دمای محفظه احتراق می‌شود (احتراق

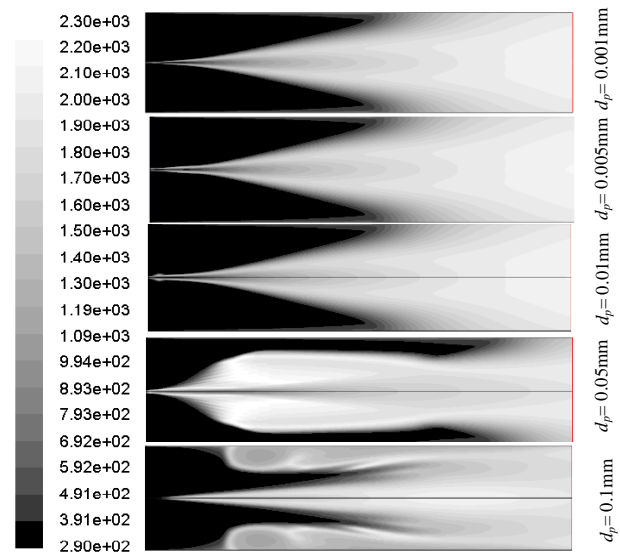


Fig.7 Temperature Contour [K] for 30° injection for various diameter of drops

شکل 7 کانتورهای دما بر حسب کلوین برای زاویه پاشش 30 درجه در قطرهای مختلف

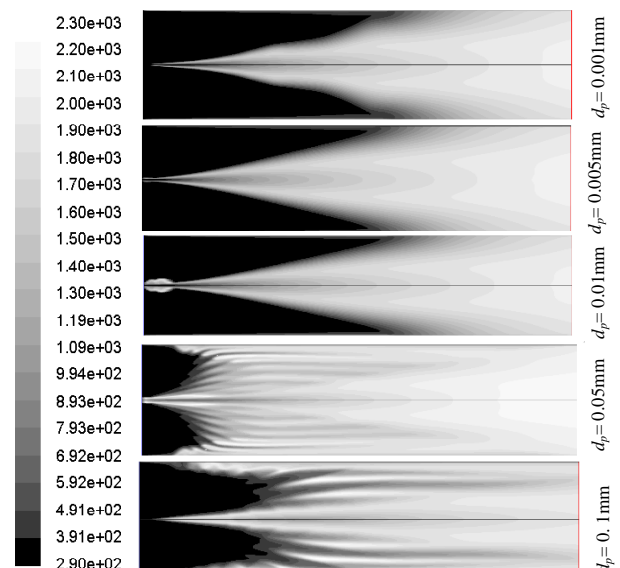
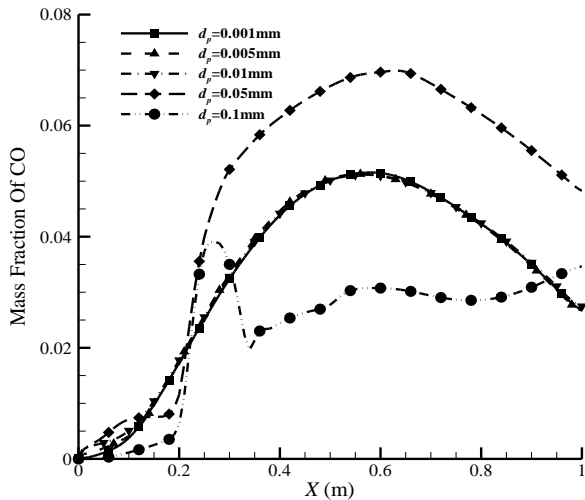
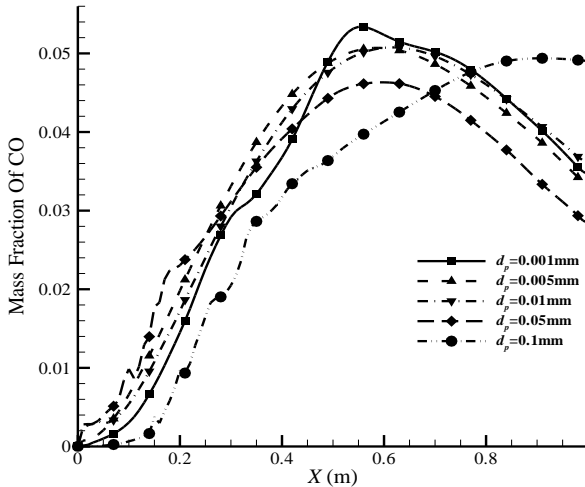


Fig.8 Temperature Contour [K] for 60° injection for various diameter of drops

شکل 8 کانتورهای دما بر حسب کلوین برای زاویه پاشش 60 درجه در قطرهای مختلف



شکل ۱۳ نمودار نسبت جرمی مونواکسید کربن در طول محفظه احتراق برای زاویه ۳۰ درجه



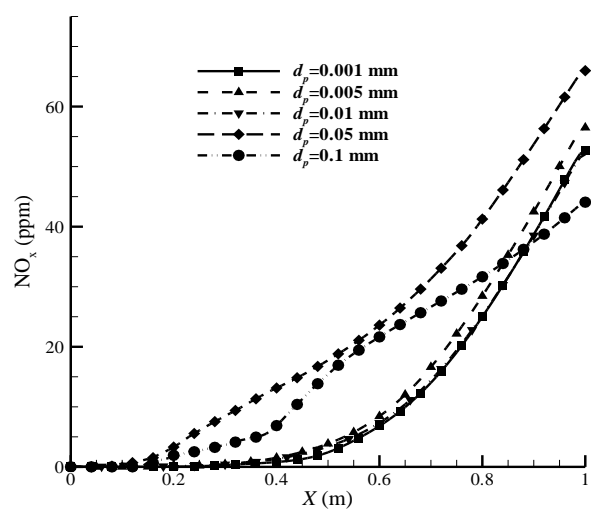
شکل ۱۴ نمودار نسبت جرمی مونواکسید کربن در طول محفظه احتراق برای زاویه ۶۰ درجه

جدول ۳ ویژگی‌های توزیع خطی اندازه قطرات

(SMD)	اندازه قطرات	خصوصیات
3.41 $\mu\text{m}$	10 $\mu\text{m}$ تا 1 $\mu\text{m}$	دسته ۱
14.95 $\mu\text{m}$	20 $\mu\text{m}$ تا 11 $\mu\text{m}$	دسته ۲
25.17 $\mu\text{m}$	30 $\mu\text{m}$ تا 21 $\mu\text{m}$	دسته ۳

کوچک‌تر باشد تغییرات آن تاثیر کوچک‌تری بر مقدار ناکس تولیدی می‌گذارد به طوری که افزایش قطر از 3.41  $\mu\text{m}$  به 14.95  $\mu\text{m}$  باعث کاهش ۱.۶% ناکس خروجی شده است. در حالی که افزایش قطر از 14.95  $\mu\text{m}$  به 25.17  $\mu\text{m}$  باعث کاهش ۶.۴% ناکس خروجی گشته است.

شکل ۱۶ مقدار ناکس را برای زاویه پاشش ۳۰ درجه نشان می‌دهد. در این شکل نیز با افزایش قطر قطرات ناکس خروجی کاهش می‌یابد ولی این کاهش نسبت به زاویه ۰ درجه شدیدتر است. دلیل آن این است که با افزایش زاویه سرعت نسبی بین دو فاز کاهش یافته و عدد رینولدز نسبی (معادله ۳)



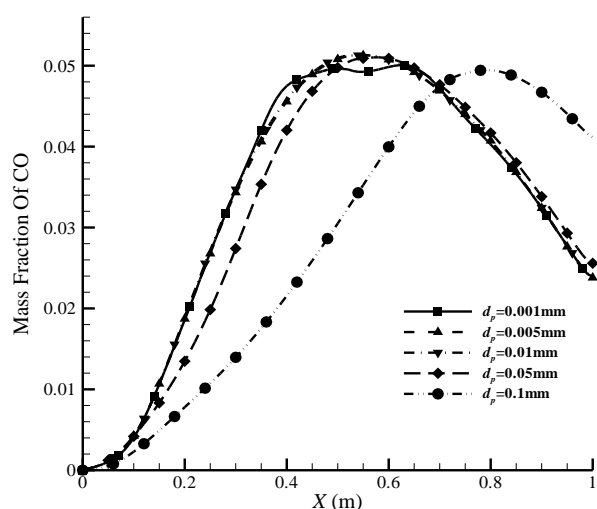
شکل ۱۱ نمودار مقدار ناکس در طول محفظه احتراق برای زاویه ۶۰ درجه

نمی‌کند و مقداری از آن محفوظه احتراق را ترک می‌کند در نتیجه فرآیند احتراق کامل نمی‌شود. برای زاویه پاشش ۰ درجه چون قطرات اصطکاک کمتری با فاز پیوسته دارند و همچنین به دیواره محفوظه برخورد نمی‌کنند با افزایش قطر ذرات نسبت جرمی مونواکسید کربن افزایش می‌یابد ولی برای زاویه پاشش ۳۰ و ۶۰ درجه با توجه به شکل شعله‌ی تشکیل شده و زاویه پاشش نتایج دستخوش تغییراتی می‌شود. هرچه قطر ذرات بزرگ‌تر و زاویه پاشش باشد این تغییرات شدیدتر و غیرقابل پیش‌بینی تر می‌گردد.

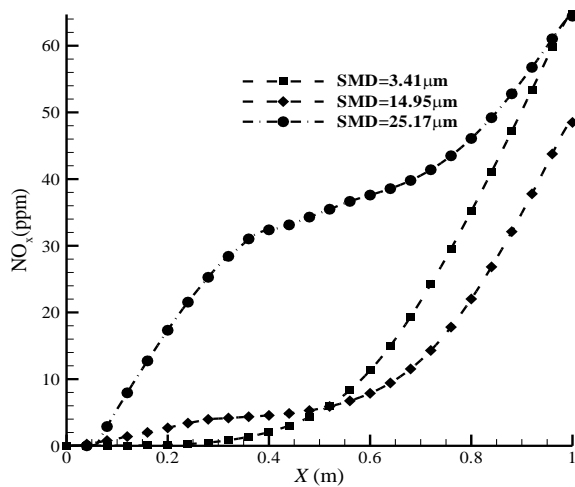
### ۲-۳- توزیع خطی اندازه قطرات

در این توزیع اندازه سه دسته از قطرات برای زاویه پاشش ۰، ۳۰ و ۶۰ درجه به داخل محفظه احتراق پاشش شده‌اند. ویژگی‌های اندازه و قطر قطرات در جدول (۳) آورده شده است.

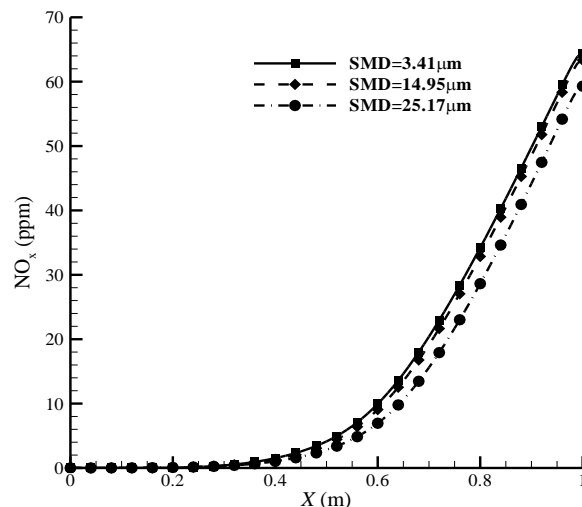
شکل ۱۵ مقدار ناکس را در محفوظه احتراق برای زاویه پاشش ۰ درجه نمایش می‌دهد. همان‌طور که در نمودار مشخص است با افزایش قطر متوسط ساتر ناکس خروجی از محفوظه احتراق کاهش یافته است. هرچه قطر قطرات



شکل ۱۲ نمودار نسبت جرمی مونواکسید کربن در طول محفوظه احتراق برای زاویه ۰ درجه

Fig.17 NO<sub>x</sub> on combustor for 60° injection

شکل 17 مقدار ناکس در محفظه احتراق برای زاویه پاشش 60 درجه

Fig.15 NO<sub>x</sub> on combustor for 0° injection

شکل 15 مقدار ناکس در محفظه احتراق برای زاویه پاشش 0 درجه

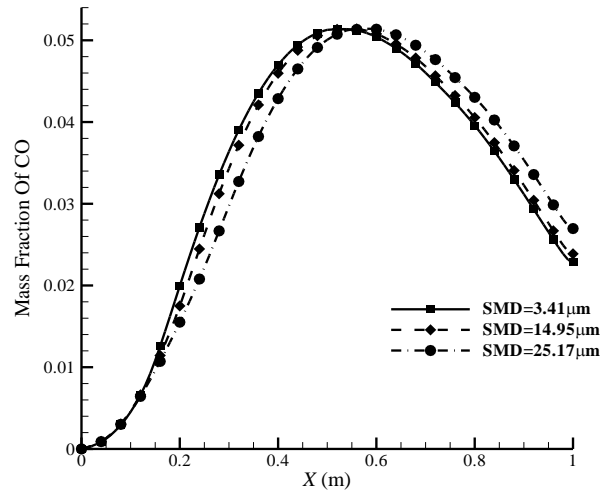


Fig.18 Mass Fraction of CO for 0° injection

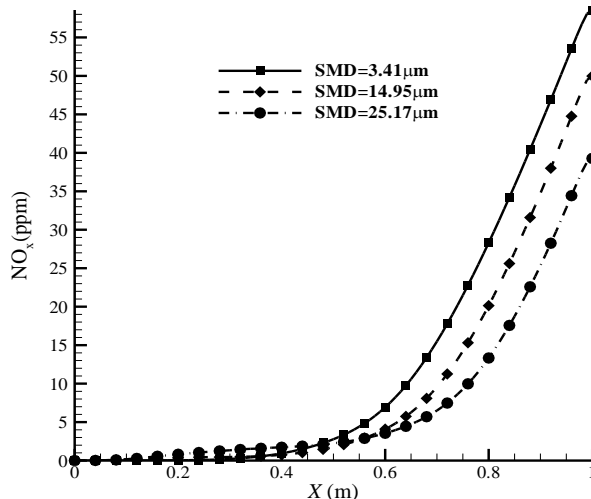
شکل 18 نمودار نسبت جرمی مونو اکسید کربن در محفظه احتراق برای زاویه 0 درجه

شکل 19 نسبت جرمی مونو اکسید کربن را برای زاویه پاشش 30 درجه بیان می‌نماید. با بررسی شکل مشخص می‌شود که در صورت افزایش قطر از 3.41 μm به 14.95 μm 21.6% افزایش پیدا کرده است. در حالی که در افزایش قطر از 14.95 μm به 25.17 μm مونو اکسید خروجی از 3.41 μm به 14.95 μm 18.8% افزوده شده است.

شکل 20 نسبت جرمی مونو اکسید کربن را برای زاویه پاشش 60 درجه بیان می‌نماید. با بررسی شکل مشخص است که در صورت افزایش قطر از 3.41 μm به 14.95 μm 40% افزایش پیدا کرده است. در حالی که در افزایش قطر از 14.95 μm به 25.17 μm 15.2% افزوده شده است.

### 3-3- توزیع روسين-رملا اندازه قطرات

سه نوع توزیع قطر روسين-رملا برای پاشش قطرات در زوایای پاشش 0، 30 و 60 درجه استفاده شده است. قطرات در محدوده قطر 1 μm تا 50 μm با پارامتر توزیع 3 و سه قطر میانگین 12.5 μm، 25 μm و 37.5 μm به داخل محفظه احتراق تزریق می‌شوند. ویژگی‌های اندازه و قطر قطرات در جدول (4) آورده شده است.

Fig.16 NO<sub>x</sub> on combustor for 30° injection

شکل 16 مقدار ناکس در محفظه احتراق برای زاویه پاشش 30 درجه

افزایش می‌باید در نتیجه نیروی پسا (معادله 2) افزایش می‌باید. از شکل مشخص است که به ازای افزایش قطر از 3.41 μm به 14.95 μm 14% کاهش داشته است. در حالی که افزایش قطر از 14.95 μm به 25.17 μm 21.5% باعث کاهش ناکس خروجی گشته است.

شکل 17 نیز نمودار تغییرات ناکس در محفظه احتراق را برای زاویه پاشش 60 درجه نمایش می‌دهد. با بررسی نمودار مشخص می‌شود که به ازای افزایش قطر از 3.41 μm به 14.95 μm 25% کاهش داشته است. در حالی که افزایش قطر از 14.95 μm به 25.17 μm باعث افزایش مجدد ناکس به اندازه 26% در خروجی گشته است.

شکل 18 نسبت جرمی مونو اکسید کربن را برای زاویه پاشش 0 درجه نمایش می‌دهد. با افزایش اندازه قطرات همان‌طور که در موارد قبلی بیان شد مونو اکسید کربن افزایش می‌باید. از شکل مشخص است که به ازای افزایش قطر از 3.41 μm به 14.95 μm 4.5% افزایش مجدد ناکس خروجی از 14.95 μm به 25.17 μm باعث افزایش انداده ناکس خروجی از 13% افزوده شده است.

شکل 22 نیز توزیع تجمعی عددی سه نوع توزیع در نظر گرفته شده را نشان داده است.

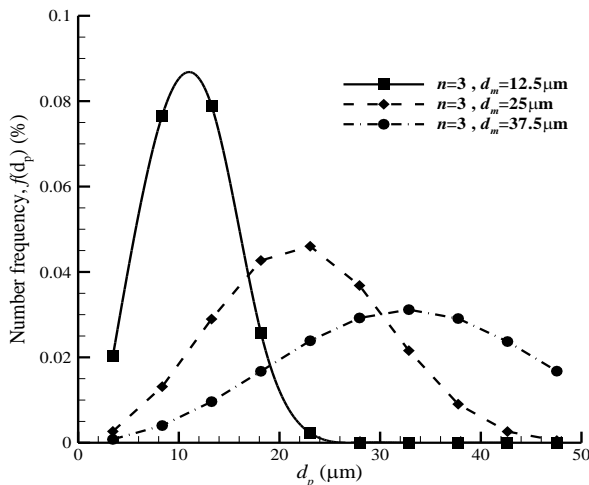


Fig.21 droplet diameter number frequency distribution

شکل 21 توزیع عددی فرکانسی قطر قطرات

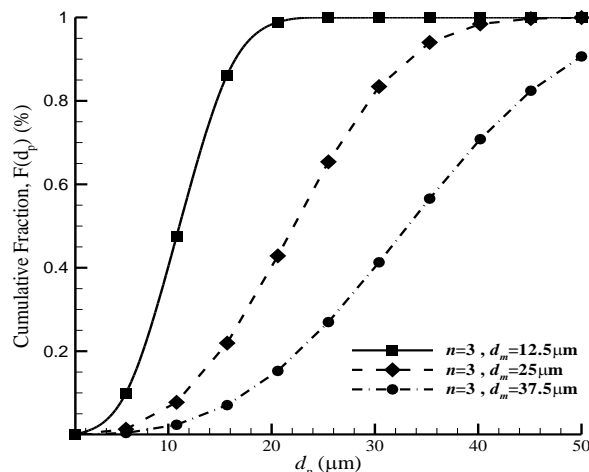


Fig.22 droplet diameter cumulative number distribution

شکل 22 توزیع عددی تجمعی قطر قطرات

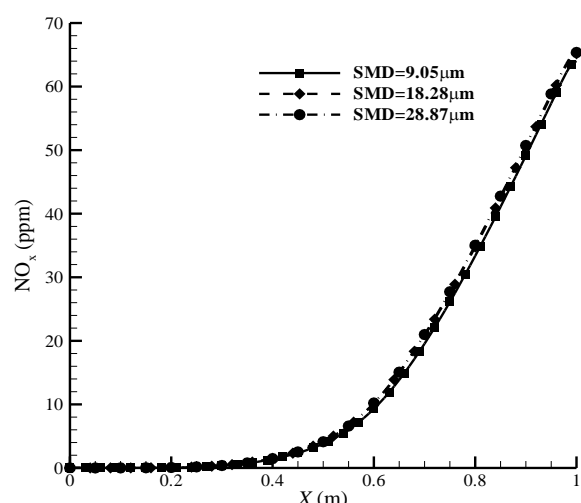


Fig.23 NO<sub>x</sub> on combustor for 0° injection

شکل 23 مقدار ناکس در محفظه احتراق برای زاویه پاشش 0 درجه

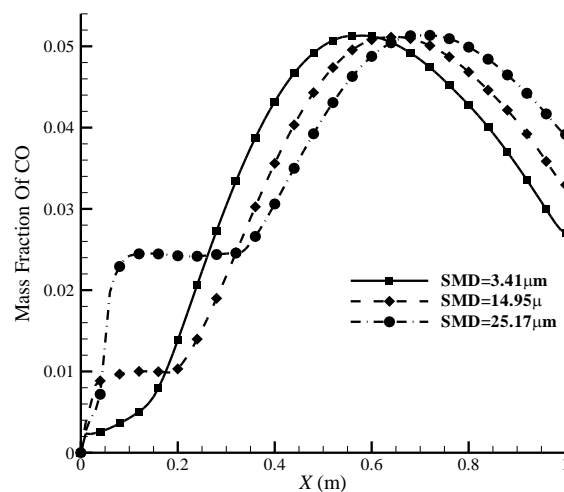


Fig.19 Mass Fraction of CO for 30° injection

شکل 19 نمودار نسبت جرمی مونوکسید کربن در محفظه احتراق برای زاویه 30 درجه

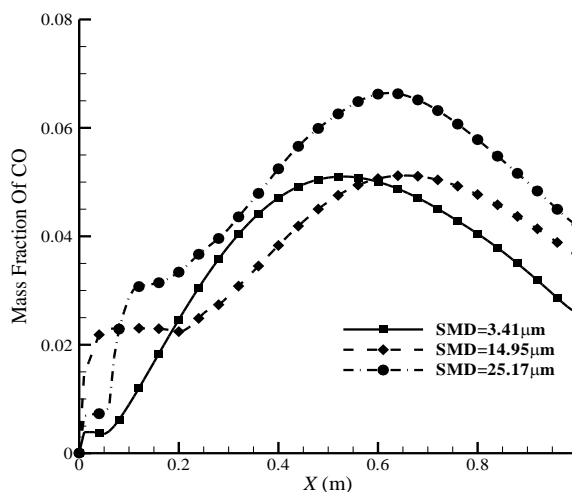


Fig.20 Mass Fraction of CO for 60° injection

شکل 20 نمودار نسبت جرمی مونوکسید کربن در محفظه احتراق برای زاویه 60 درجه

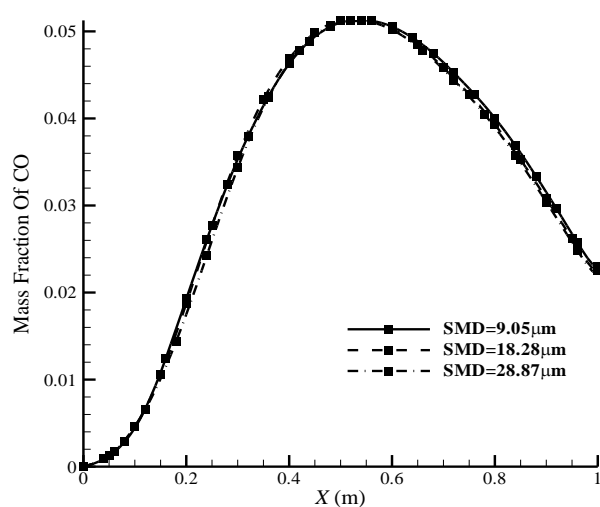
جدول 4 ویژگی‌های توزیع روسین-رملر اندازه قطرات

Table 4 droplet diameter Rosin-Rammler distribution characteristics

خصوصیات	اندازه قطرات	قطر میانگین ساتر (SMD)	پارامتر میانگین	توزیع	از	تا	دسته
		9.05 μm	12.5 μm	3	50 μm	1 μm	1
		18.28 μm	25 μm	3	50 μm	1 μm	2
		28.87 μm	37.5 μm	3	50 μm	1 μm	3

شکل 21 توزیع فرکانسی عددی سه نوع توزیع در نظر گرفته شده را نمایش می‌دهد.

شکل 23 مقدار ناکس را برای زاویه پاشش 0 درجه نشان می‌دهد. همان‌طور که از نمودار مشخص است برای زاویه پاشش 0 درجه ناکس خروجی از محفظه احتراق دچار تغییرات بسیار اندکی شده است و می‌توان بیان کرد که در زاویه پاشش 0 درجه ناکس تولید شده به نوع توزیع قطرات واپس‌تنه نیست. همچنان با مقایسه دو نمودار 23 و 15 مشاهده می‌شود که این دو نوع توزیع خطی و روسین-رملر برای زاویه پاشش 0 درجه دارای نتایج یکسانی هستند.

Fig.26 Mass Fraction of CO for  $0^\circ$  injection

شکل 26 نمودار نسبت جرمی مونواکسید کربن در محفظه احتراق برای زاویه ۰ درجه

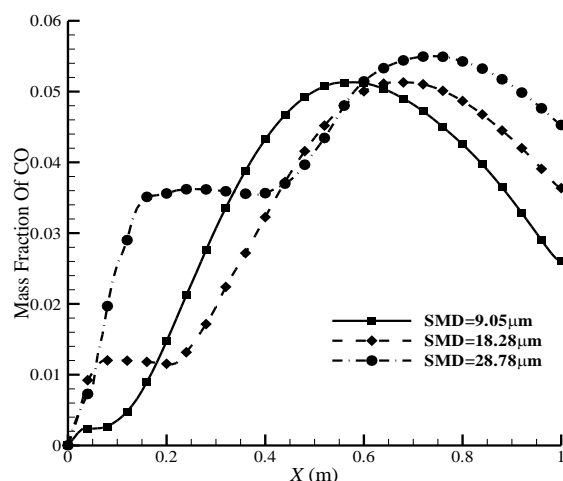
زاویه پاشش ۰ درجه گفته شد با بررسی نمودار این نتیجه گرفته می‌شود که در زاویه پاشش ۰ درجه نوع پاشش و تغییر قطر قطرات تغییرات اندکی در مقدار مونواکسید کربن خارج شده از محفظه احتراق ایجاد می‌کند.

شکل 27 نشانگر نسبت جرمی مونواکسید کربن در محفظه احتراق برای زاویه پاشش ۳۰ درجه می‌باشد. به ازای افزایش قطر میانگین ساتر از  $9.05\text{ }\mu\text{m}$  به  $18.28\text{ }\mu\text{m}$  مونواکسید کربن خروجی از محفظه احتراق به مقدار ۳۹.۵٪ افزایش یافته است و به ازای افزایش قطر میانگین ساتر از  $18.28\text{ }\mu\text{m}$  به  $28.87\text{ }\mu\text{m}$  مونواکسید خارج شده از محفظه احتراق ۲۴.۵٪ افزوده شده است.

شکل 28 نسبت جرمی مونواکسید کربن را برای زاویه پاشش ۶۰ درجه نمایش می‌دهد.

#### 4- نتیجه‌گیری

حل عددی مدل سازی احتراق غیر پیش آمیخته سوخت مایع در یک محفظه احتراق دو بعدی متقارن محوری برای بررسی تاثیر اندازه قطر قطرات سوخت در تشکیل آلاینده‌ها مانند ناکس و مونواکسید کربن و دیگر ویژگی‌های محفوظه احتراق انجام شد. این بررسی برای ۵ قطر مختلف، ۳ نوع توزیع

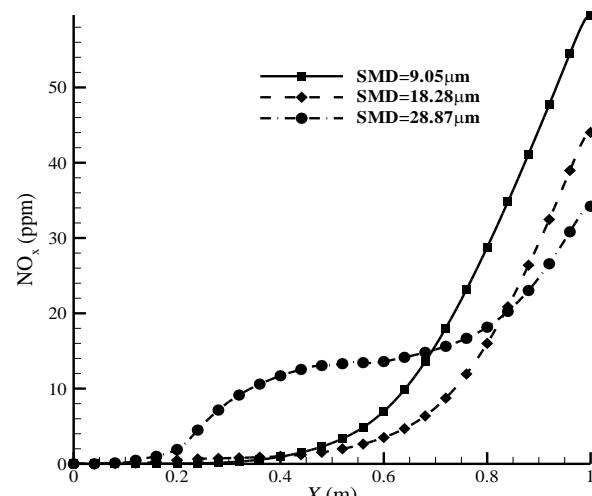
Fig.27 Mass Fraction of CO for  $30^\circ$  injection

شکل 27 نمودار نسبت جرمی مونواکسید کربن در محفظه احتراق برای زاویه ۳۰ درجه

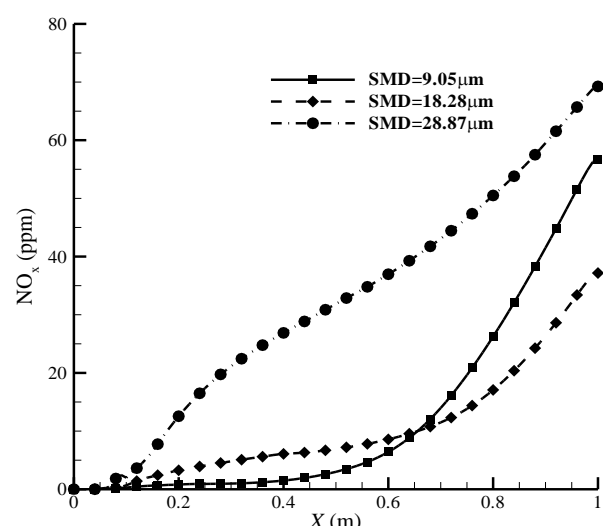
شکل 24 مقدار ناکس را برای زاویه پاشش ۳۰ درجه نمایش می‌دهد. هرچه قطرات بزرگ‌تر در توزیع بیشتر باشد ناکس خروجی از محفظه احتراق کاهش می‌یابد. به ازای افزایش قطر میانگین ساتر از  $9.05\text{ }\mu\text{m}$  به  $18.28\text{ }\mu\text{m}$  ناکس خروجی ۲۶٪ کاهش یافته است و به ازای افزایش قطر میانگین ساتر از  $18.28\text{ }\mu\text{m}$  به  $28.87\text{ }\mu\text{m}$  ناکس خروجی از محفظه احتراق ۲۲٪ کاهیده شده است.

شکل 25 مقدار ناکس را برای زاویه پاشش ۶۰ درجه نمایش می‌دهد. در زاویه پاشش ۶۰ درجه هرچه قطرات با اندازه متوسطتر پاشش شده‌اند ناکس خروجی از محفوظه احتراق در وضعیت مناسب‌تر قرار گرفته است. در زاویه پاشش ۶۰ درجه همان‌طور که در مباحث تر گفته شد به دلیل احتراق و افزایش دما در حجم بیشتری از محفوظه ناکس تولیدی فقط وابسته به عامل اندازه قطرات نیست و به عواملی از جمله سرعت، آشفتگی جریان و... نیز وابسته است.

شکل 26 بیان کننده نسبت جرمی مونواکسید کربن در محفظه احتراق برای زاویه پاشش ۰ درجه می‌باشد. همان‌طور که در مورد ناکس تولیدی در

Fig.24 NO<sub>x</sub> on combustor for  $30^\circ$  injection

شکل 24 مقدار ناکس در محفظه احتراق برای زاویه پاشش ۳۰ درجه

Fig.25 NO<sub>x</sub> on combustor for  $60^\circ$  injection

شکل 25 مقدار ناکس در محفوظه احتراق برای زاویه پاشش ۶۰ درجه

( $m^3 m^{-1} s^{-1}$ )	تصحیح کننده ثوابت سرعت واکنش معکوس	$k_{r,1}, k_{r,2}$
(kg)	جرم ذره	$m_p$
(kg)	جرم اولیه ذره	$m_{p,0}$
( $kgs^{-1}$ )	دبی جرمی اولیه ذرات فاز گسسته	$\dot{m}_{p,0}$
( $kgs^{-1}$ )	دبی جرمی ذرات فاز گسسته	$\dot{m}_p$
(kg)	جرم ذره در ورود به سلول حل فاز پیوسته	$m_{p,in}$
(kg)	جرم ذره در خروج از سلول حل فاز پیوسته	$m_{p,out}$
( $kgs^{-1}$ )	انتقال جرم از فاز گسسته به پیوسته	$M$
	تعداد قطرات در واحد حجم	$N_d$
	تعداد اتم‌های کربن در مولکول برای سوخت‌های هیدروکربنی	$n$
(pa)	فشار	$P$
(J)	انتقال حرارت	$Q$
( $J.mol^{-1}K^{-1}$ )	ثابت جهانی گازها	$R$
	عدد رینولدز نسبی	$Re$
	چشم	$S$
(s)	زمان	$t$
(K)	دماز ذره	$T_p$
(K)	دماز مرجع برای محاسبات آنتالپی	$T_{ref}$
(K)	دماز ذره در ورود به سلول حل فاز پیوسته	$T_{p,in}$
(K)	دماز ذره در خروج از سلول حل فاز پیوسته	$T_{p,out}$
(K)	دماز فاز پیوسته	$T_\infty$
( $ms^{-1}$ )	سرعت فاز	$U$
( $ms^{-1}$ )	سرعت ذره	$U_p$
	علانم یونانی	
( $m^{-1}$ )	میانگین ضریب جذب پلانک	$\alpha$
	میانگین ضریب پراکندگی (بخش) پلانک	$\kappa$
( $kgm^{-2}$ )	چگالی ذرات فاز گسسته	$\rho_p$
( $kgm^{-2}$ )	چگالی فاز پیوسته	$\rho$
(pas)	ویسکوزیته مولکولی فاز پیوسته	$\mu$
( $Wm^{-2}K^{-4}$ )	فاکتور بازده پراکندگی (بخش) برای یک ذره	$\eta_s$
(rad)	قابلیت نشر ذره	$\epsilon_p$
(W $m^{-2}K^{-4}$ )	ثابت استفان-بولتزمن	$\sigma$
(K)	دماز تشعشع	$\theta_R$
(rad)	جهت	$\Omega$
	نسبت هم ارزی	$\emptyset$

## 6- مراجع

- [1] H. Wang, K. Luo, J. Fan, Effects of turbulent intensity and droplet diameter on spray combustion using direct numerical simulation, *Fuel*, Vol. 121, No. 1, pp. 311-318, 2014.
- [2] I. Awasthi, G. Gogos, T. Sundararajan, Effects of size on combustion of isolated methanol droplets, *Flame And Combustion*, Vol. 160, No. 1, pp. 1789-1802, 2013.
- [3] J. Warnatz, U. Mass, R. Dibble, *Combustion: physical and chemical fundamentals modeling and simulation, experiments, pollutant formation*, pp. 259-265, 4<sup>th</sup> Edition, Berlin: Springer-Verlag Berlin Heidelberg, 2006.
- [4] J. Hayashi, J. Fukui, F. Akamatsu, Effects of fuel droplet size distribution on soot formation in spray flames formed in a laminar counterflow, *Proceedings of the Combustion Institute*, Vol. 34, No. 1, pp. 1561-1568, 2013.

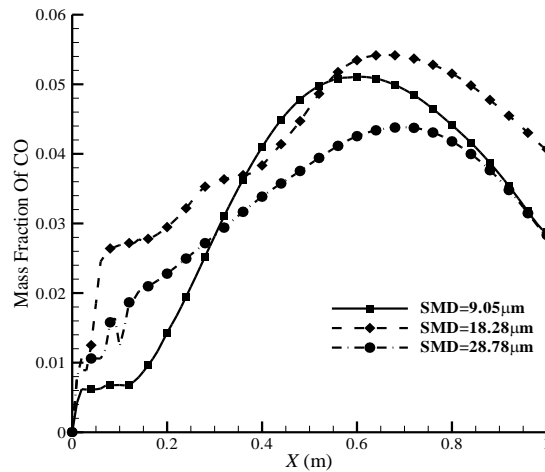


Fig.28 Mass Fraction of CO for 60° injection

شکل 28 نمودار نسبت جرمی مونواکسیدکربن در محظوظه احتراق برای زاویه 60 درجه

- قطرات و 3 زاویه پاشش مختلف انجام شد و نتایج زیر به دست آمد:
- اندازه قطرات تاثیر مهمی بر تولید ناکس و مونواکسیدکربن در قطرات بزرگ سوخت در شعله‌های آشفته دارد.
- قطرات ریزتر ناکس بیشتری نسبت به قطرات بزرگ تر تولید می‌کنند.
- برای قطرات خیلی ریز تولید ناکس و مونواکسیدکربن نزدیک به هم است.
- قطرات بزرگ تر مونواکسیدکربن و دی‌اکسیدکربن بزرگتری نسبت به قطرات کوچک تر ایجاد می‌کنند.
- شکل شعله تاثیر مستقیمی بر پارامترهای شعله مانند تولید ناکس و مونواکسیدکربن و دماز میانگین وزنی محظوظه دارد.
- برخورد قطرات بزرگ تر با دیواره محظوظه مخصوصاً در زاویه پاشش‌های بالا باعث آشفتگی در نتایج می‌شود.

## 5- فهرست علائم

$a$	مرتبه واکنش اکسیژن
$A_p$	سطح قطره ( $m^2$ )
$C_D$	ضریب پسا
$C_P$	ظرفیت گرمایی ( $Jkg^{-1}K^{-1}$ )
$C_{p,p}$	ظرفیت گرمایی قطره ( $Jkg^{-1}K^{-1}$ )
$d_p$	قطر قطره (m)
$F$	نیرو (N)
$F_D$	نیروی پسا در واحد جرم ذره ( $Nkg^{-1}$ )
$f$	نسبت مخلوط
$g$	شتاب گرانش ( $ms^{-2}$ )
$G$	تابع تشعشع ( $Wm^{-2}$ )
$h$	ضریب انتقال حرارت جایجاوی ( $Wm^{-2}K$ )
$h_{fg}$	گرمای نهان ( $Jkg^{-1}$ )
$H_{lat,ref}$	گرمای نهان در شرایط مرجع ( $Jkg^{-1}$ )
$H_{pyrol}$	انتقال حرارت ناشی از تجزیه مواد قابل تبخیر (Jkg <sup>-1</sup> )
$I$	شدت تشعشع
$I_b$	شدت تشعشع جسم سیاه
$i_{b,\lambda}$	تابع جسم سیاه پلانک
$k_{f,1}, k_{f,2}, k_{f,3}$	ثوابت سرعت برای واکنش رو به جلو ( $m^3 m^{-1} s^{-1}$ )

- [10] S. Morsi, A. Alexander, An Investigation of Particle Trajectories in Two-Phase Flow Systems, *Fluid Mechanic*, Vol. 55, No. 2, pp. 193-208, 1972.
- [11] S. Hashemi, A. Fattahi, G. Sheikhzade, Presumed PDF Modeling of Reactive oxy-fuel flow in a model combustor, *The Journal of Energy: Engineering & Management*, Vol. 2, No. 4, pp. 48-57, 2012.
- [12] G. DeSoete, Overall Reaction Rates of NO and Formation from Fuel Nitrogen, *The Combustion Institute*, Vol. 15, No. 1, pp. 1093–1102, 1975.
- [13] K. Bashirnezhad, M. Moghimian, I. Zahmatkesh, Studies on soot formation and combustion in turbulent spray flames: Modeling and experimental measurement, *Iranian Journal of Chemistry and Chemical Engineering*, Vol. 26, No. 3, pp. 45-54, 2007.
- [14] D.P. Schmidt, C.J. Rutland, M.L. Corradini, A fully compressible, two-dimensional model of small, high-speed, cavitating nozzles, *Atomization and Sprays*, Vol. 9, No. 3, pp. 255-276, 1999.
- [5] T. Li, K. Nishida, H. Hiroyasu, Droplet size distribution and evaporation characteristics of fuel spray by a swirl type atomizer, *Fuel*, Vol. 90, No. 7, pp. 2367–2376, 2011.
- [6] A. Fujita, H. Watanabe, R. Kurose, S. Komori, Two-dimensional direct numerical simulation of spray flames - Part 1: Effects of equivalence ratio, fuel droplet size and radiation, and validity of flamelet model, *Fuel*, Vol. 104, No. 1, pp. 515–525, 2013.
- [7] H. Watanabe, R. Kurose, S. Komori, H. Pitsch, Effects of radiation on spray flame characteristics and soot formation, *Combustion And Flame*, Vol. 152, No. 1-2, pp. 2-13, 2008.
- [8] S. Som, N. Sharma, Influence of fuel volatility and spray parameters on combustion characteristics and NO<sub>x</sub> emission in a gas turbine combustor, *Applied Thermal Engineering*, Vol. 24, No. 5-6, pp. 885-903, 2002.
- [9] F. Filho, N. Fukumasa and G. Krieger, Numerical simulation of an ethanol turbulent spray flame with RANS and diffusion combustion model, *Journal of the Brazilian Society of Mechanical Sciences and Engineering*, vol.35, No. 3, pp. 189-198, 2013